

北京环城游憩带旅游地类型 与空间结构特征

苏 平, 党 宁, 吴必虎

(北京大学旅游研究与规划中心, 北京 100871)

摘要: 本文针对我国城市居民以城市周边为目的地的近距离旅游日益增长的现象, 以北京市行政区域内除东城、西城、崇文、宣武四个城区以外 14 个区县中的 235 处旅游地作为研究样本, 按照地复合分类法根据旅游地的资源属性和旅游活动的性质将旅游地分为 9 种类型, 根据北京市情况可归并为 4 类; 运用空间结构、计量地理学理论以及地理信息系统、电话调查等技术手段, 将四类 235 处旅游地的大量数据分别进行了城市中心距离、回转半径法、空间分布曲线、空间离散指数等旅游计量地理研究, 从而得出北京环城游憩带旅游地的空间结构特征。

关 键 词: 环城游憩带; 旅游地类型; 空间结构; 北京

中图分类号: F592.99 **文章编号:** 1000-0585(2004)03-0403-08

1 研究综述

近年来, 我国城市居民以城市周边为目的地的近距离旅游日益增长, 特别是在“五一”、“十一”黄金周期间, 出游流量更为集中。2002 年“十一”期间, 北京市民在京旅游为 381 万人次, 同比增长 5.8%, 旅游收入 34.4 亿元^[1], 周边区县成为市民假日旅游的重要目的地。这种城市近郊出游现象引起国内外学术界业的广泛关注。

国外对城市周边旅游地类型及空间结构早有研究。一些旅游研究将城市周边旅游作为旅游的一种基本类型, 早在 1987 年, Stephen L. J. Smith 就在其《区域旅游资源分析》一文中, 在国家尺度上将旅游划分出城市旅游、户外游憩、度假/划船、城市边缘旅游 4 个类型^[2]。1993 年, David B. Weaver 根据旅游活动随距离衰减的现象, 将城市居民出游目的地划分为专业旅游带、中心商务区、地方邻里区 (local neighborhoods)、胜地带 (resort strip) 和乡村外围 (rural periphery) 5 个带^[3], 显示出旅游研究者对城市周边旅游的特别关注。Donald Getz^[4]、Randell A. Smith 与 John D. Lesure.^[5]、Scott-D.^[6]等人的研究也从侧面反映了城市周边旅游的特征。

在上世纪 90 年代后期, 国内城市周边旅游研究逐步出现^[7-14]。1999 年, 吴必虎等在对上海市郊区旅游开发实证研究的基础上, 提出了环城游憩带 (ReBAM) 理论, 对城市周边旅游进行了系统的理论总结, 并初步建立起规范研究的框架^[15,16]。该理论将发生于

收稿日期: 2003-07-09; 修订日期: 2003-12-20

基金项目: 国家自然科学基金资助项目 (40371036)

作者简介: 苏平 (1972-), 男, 新疆库尔勒人, 硕士。曾多次在核心期刊发表论文, 现在深圳招商证券研究发展中心工作。

通讯作者: 吴必虎 (1962-), 博导, 教授, 北京大学旅游研究与规划中心主任。

大城市郊区、主要为城市居民光顾的游憩设施、场所和公共空间,特定情况下还包括位于城郊的外来旅游者经常光顾的国家级或省级旅游目的地,一起称为环大都市游憩活动频发地带,简称“环城游憩带(ReBAM, recreational belt around metropolis)”。

一些学者探讨了环城游憩带内旅游地类型及其空间分布规律。如沙润、吴江认为,城乡交错带内,近城区可以选用或借鉴风景名胜区模式,近郊和远郊区宜选用森林公园模式^[17];符全胜在此基础上提出了城乡交错带旅游开发的5种模式,即风景名胜区、主题公园、观光农业园、度假区和森林公园模式^[18]。肖胜和从空间角度提出郊野公园、户外活动区、休闲度假区、农业旅游区的郊野旅游开发层次,并提出旅游杜能圈的概念^[19]。王云才对都市郊区开放空间景观作了11大类30个景观类型划分^[20]。

上述研究在一定程度上定性地揭示了城市周边旅游地分布的规律,但由于缺乏数据支持,已有研究在定量方面尚待深入。为了进一步揭示旅游地类型与空间分布的关系,作者将在前人研究的基础上,在对大量统计数据进行深入分析的前提下,采用平均城市中心距离、回转半径法、空间分布曲线等方法对北京市周边旅游地类型及其空间规律进行研究,希望能以此为案例定量地分析城市周边旅游地类型与空间分布特征。

2 研究方法

2.1 数据搜集

以北京市旅游局提供的《北京周边旅游景点纵览》、《北京市旅游局1998年景点综合统计表》为基础,参考一些景点宣传材料,得到北京市行政区域内除东城、西城、崇文、宣武四城区以外14个区县中的235处旅游地作为研究样本。为了确定各景点的现状、类型、准确位置等方面的数据,对超过四分之三的景点进行了电话调查核实。

2.2 空间测量

根据1998、1999、2000年的北京市旅游地图,对照北京市旅游景点介绍材料及部分区县旅游地图、景点介绍,确定235处旅游地的分布位置。对部分缺乏图件资料或图件标注有出入、文字记述不详的旅游地,采用电话调查的方法获得其准确方位,并标示在地图中。为了比较各旅游地与城市中心的距离变化关系,引入旅游地城市中心距离的概念,将北京市周边旅游地分布图导入AutoCAD软件,并调整图幅大小至与原地图的比例尺相同,利用软件中的距离工具测量各旅游地与北京城市中心的距离。

2.3 计量方法

采用回转半径法、旅游地空间分布曲线、旅游地平均城市中心距离、旅游地空间离散指数等计量方法进行定量研究。

2.3.1 平均城市中心距离 将旅游地与城市中心点的距离定义为城市中心距离,用字母 d 表示。在研究以前作为北京市中心对同一类型的所有旅游地,分别测量其 d 值,并求出该类型旅游地距离城市中心的平均值,此平均值即为该类型旅游地的平均城市中心距离,其数学表达式如下:

$$\bar{d} = \frac{\sum d}{n} \quad (1)$$

其中, n 表示旅游地数量。

2.3.2 回转半径法与空间分布曲线 回转半径法即以中心点为圆心作圆,不断变化半径尺度,观察要素点在不同半径范围内的分布状况,进而发现要素在空间分布上的特征。在

回转半径法数据的基础上, 以距离为横坐标, 以某一距离上旅游地数量占该类型旅游地数量的百分比为纵坐标, 利用 Excel 软件做出旅游地数量与空间距离对应的空间分布曲线图。借此比较不同类型旅游地在空间分布上的差异。

2.3.3 旅游地空间离散指数 不同类型的旅游地, 受距离条件约束的强度不同。我们利用 SPSS 软件计算标准差和平均值的比值, 以此来衡量旅游地的相对变化(波动)程度或者说旅游地空间离散程度, 称为旅游地空间离散指数, 用 a 表示。其数学表达式为:

$$a = \frac{S}{d} \quad (2)$$

其中, S 、 d 分别为某类型旅游地的标准差及平均城市中心距离。

3 北京周边旅游地类型划分

对旅游地分类较早的方法是两分法和三分法, 均以吸引物的属性为分类标准。两分法将旅游地划分为自然和人文两种类型, 三分法在此基础上, 增加了综合型(或人造型)。随着旅游研究的不断深入, 仅仅根据旅游地吸引物属性进行的类型划分已经不能满足研究的需要, 在这种情况下, 出现了一些新的分类方法^[21]。与传统分类方法相比, 新方法不仅考虑了主要旅游吸引物的属性, 同时也考虑了旅游活动的性质。为了更准确地反映不同类型旅游地的特征, 本研究采用旅游地资源属性和旅游活动属性交叉组合的复合分类法确定北京市周边旅游地的类型, 并在此基础上研究其空间分布的规律。

根据旅游地的资源属性, 可以将旅游地划分为自然旅游地、人文旅游地和人造旅游地三类; 根据旅游活动的性质, 又可以将旅游地划分为观光旅游地、游戏娱乐旅游地、运动休闲旅游地。上述两个分类体系交叉组合, 得到 9 种旅游地的理论类型, 即: 自然观光旅游地、自然娱乐旅游地、自然运动休闲旅游地、人文观光旅游地、人文娱乐旅游地、人文休闲旅游地、人造观光旅游地、人造娱乐旅游地、人造运动休闲旅游地。

将上述 9 种旅游地类型与北京市旅游地相比较, 发现其中有几类旅游地数量很少或几乎没有, 可以归并到其他类型中, 如将自然娱乐旅游地归并到自然观光旅游地, 将人造观光旅游地归并到人文观光旅游地, 将人文娱乐旅游地、人造娱乐旅游地合并为人工娱乐旅游地; 有些类型的旅游地, 其旅游活动性质对旅游地类型具有主导作用, 旅游资源的属性已经不构成旅游地类型划分的标准, 如三个运动休闲型旅游地可归为一类。

根据北京周边旅游地实际状况, 对上述 9 种旅游地类型进行调整, 归并为 4 种类型:

自然观光旅游地: 包括自然风景区、森林公园、自然保护区、田园山村等;

人文观光旅游地: 包括历史文化遗址、古建园林、科技文化艺术博物馆等;

人工娱乐旅游地: 包括游乐场、主题公园等;

运动休闲旅游地: 包括运动场馆、度假村、会议中心等。

这一分类与吴必虎等在对上海城市居民游憩行为的研究中对上海周边旅游地的分类基本相同^[16]。采用上述分类方法, 对北京市周边 235 个旅游地进行分类, 结果见表 1。各类型旅游地的空间分布情况见图 1。

从表 1 可以看出, 北京周边区县的四种旅游地类型中, 自然观光旅游地在数量上占据了绝对优势, 数量最少的是人工娱乐旅游地。这是因为北京市周边地区多山, 以自然山水风光为主体的自然风景资源丰富, 并且旅游开发投入少、游客规模的门槛值小, 因而自然观光类型旅游地数量较多; 而人工娱乐旅游地具有大投入、高消费的特点, 需要较大规模的游

客量才能维持正常经营，对区位条件的要求也更高。

表 1 北京周边区县旅游地统计表

Tab. 1 Statistics for attractions inner Beijing or around

| 区县 | 人文观光旅游地 | 自然观光旅游地 | 人工娱乐旅游地 | 运动休闲旅游地 | 合计 |
|------|---------|---------|---------|---------|-----|
| 朝阳区 | 5 | 0 | 4 | 0 | 9 |
| 丰台区 | 6 | 0 | 1 | 3 | 10 |
| 石景山区 | 3 | 1 | 5 | 3 | 12 |
| 海淀区 | 12 | 7 | 3 | 2 | 24 |
| 门头沟区 | 6 | 10 | 0 | 5 | 21 |
| 房山区 | 5 | 16 | 0 | 9 | 30 |
| 昌平区 | 8 | 10 | 5 | 2 | 25 |
| 顺义区 | 1 | 0 | 1 | 7 | 9 |
| 通州区 | 2 | 0 | 0 | 4 | 6 |
| 大兴县 | 1 | 1 | 3 | 1 | 6 |
| 平谷县 | 0 | 11 | 0 | 2 | 13 |
| 怀柔县 | 2 | 16 | 2 | 2 | 22 |
| 密云县 | 1 | 20 | 2 | 1 | 24 |
| 延庆县 | 7 | 10 | 3 | 4 | 24 |
| 合计 | 59 | 102 | 29 | 45 | 235 |

资料来源：《北京旅游景点纵览》，北京市旅游局统计处 1998 年景点统计表。

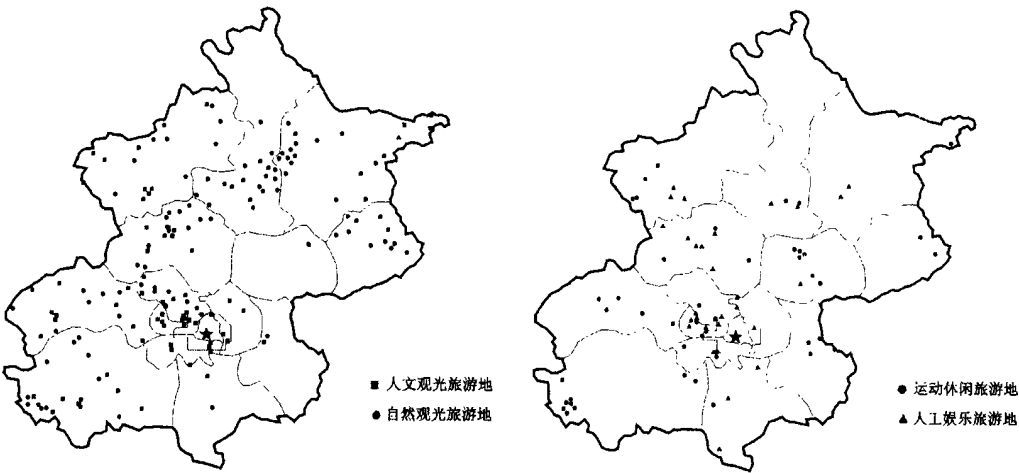


图 1 北京周边不同类型旅游地空间分布图

Fig. 1 Spatial distribution of attraction categories inner Beijing or around

4 旅游地类型与空间结构特征

4.1 旅游地空间统计特征

4.1.1 各类型旅游地平均城市中心距离

以前门为北京市中心，测量北京市周边 4 种类型旅游地的平均城市中心距离和空间离散指数，结果如表 2。

4.1.2 空间分布曲线 采用回转半径法，从北京市中心开始，以 10 km 为单位，测量各类型旅游地在空间分布上的

表 2 北京市周边不同类型旅游地的空间统计特征

Tab. 2 Metrological geography Characteristics of different attraction Categories inner Beijing or around

| 旅游地类型 | 平均城市中心距离(km) | 空间离散指数 |
|---------|--------------|--------|
| 人文观光旅游地 | 35. 90 | 0. 680 |
| 自然观光旅游地 | 64. 67 | 0. 324 |
| 人工娱乐旅游地 | 31. 77 | 0. 643 |
| 运动休闲旅游地 | 47. 32 | 0. 517 |

资料来源：作者应用 SPSS 软件自行计算。

特征。根据获得的数据作出北京市周边旅游地空间分布曲线，观察不同类型旅游地在空间分布上的特征。各类型旅游地的空间分布状况如表 3。

表 3 不同类型旅游地空间分布回转半径统计表

Tab. 3 Statistics for spatial distribution rotating radius of attraction categories

| 城市中心距离 (km) | 人文观光旅游地 | | 自然观光旅游地 | | 人工娱乐旅游地 | | 运动休闲旅游地 | |
|----------------|---------|-------|---------|-------|---------|-------|---------|-------|
| | 数量 | 百分比 % | 数量 | 百分比 % | 数量 | 百分比 % | 数量 | 百分比 % |
| 10 | 8 | 13.56 | 0 | 0 | 2 | 6.90 | 0 | 0 |
| 20 | 14 | 23.73 | 3 | 2.94 | 10 | 34.48 | 6 | 13.33 |
| 30 | 6 | 10.17 | 6 | 5.88 | 4 | 13.79 | 9 | 20.00 |
| 40 | 6 | 10.17 | 4 | 3.92 | 3 | 10.34 | 6 | 13.33 |
| 50 | 8 | 13.56 | 12 | 11.76 | 3 | 10.34 | 5 | 11.11 |
| 60 | 5 | 8.47 | 12 | 11.76 | 3 | 10.34 | 5 | 11.11 |
| 70 | 7 | 11.86 | 19 | 18.63 | 3 | 10.34 | 2 | 4.44 |
| 80 | 3 | 5.08 | 25 | 24.51 | 1 | 3.45 | 9 | 20.00 |
| 90 | 1 | 1.69 | 15 | 14.71 | 0 | 0 | 2 | 4.44 |
| 100 | 0 | 0 | 3 | 2.94 | 0 | 0 | 0 | 0 |
| 110 | 0 | 0 | 1 | 0.98 | 0 | 0 | 0 | 0 |
| 120 | 1 | 1.69 | 1 | 0.98 | 0 | 0 | 1 | 2.22 |
| 130 | 0 | 0 | 1 | 0.98 | 0 | 0 | 0 | 0 |
| 合计 | 59 | 100 | 102 | 100 | 29 | 100 | 45 | 100 |

资料来源：作者自行计算，百分比为该回转半径尺度上的同一类型旅游地的数量占该类型旅游地总量的百分率。

根据上表，以回转半径为坐标横轴，回转半径上同类型旅游地的数量为坐标纵轴，得到不同类型旅游地的空间分布曲线（即旅游地空间距离-数量分布曲线），并进一步作出每个回转半径上的旅游地密度曲线（图 2）。

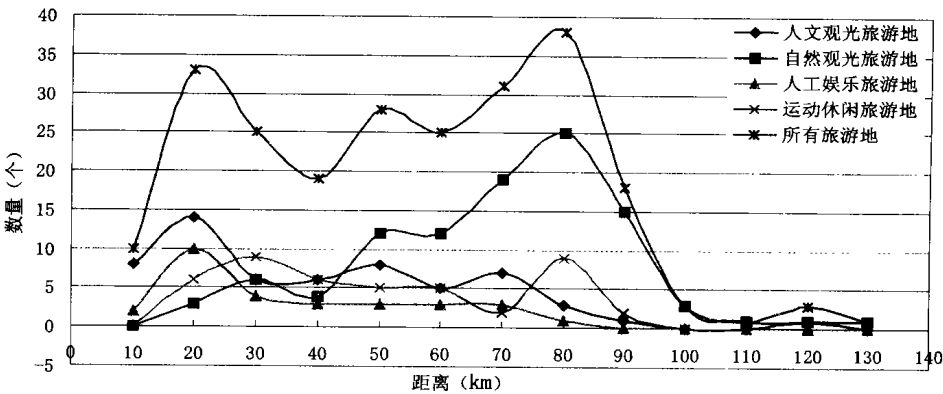


图 2 不同类型旅游地空间分布曲线图

Fig. 2 Graph for spatial distribution of different attraction categories

4. 2 旅游地类型与空间结构特征分析

4. 2. 1 旅游地受城市中心引力约束的大小分析 不同类型旅游地的平均城市中心距离存在显著差异。人工娱乐型旅游地与城市中心的平均距离最小，为 31.77 km；自然观光型旅游地与城市中心的平均距离最大，达到 64.67 km；人文观光旅游地和运动休闲旅游地的平均城市中心距离介于两者之间。旅游地平均城市中心距离的差异，反映出自然资源因素和市场区位因素对不同类型的旅游地的重要性存在显著差异。平均城市中心距离小，说明该种类型旅游地的选址主要受市场区位条件影响，而受自然资源条件影响较少；反之，则受自然资源条件影响更多一些。

北京市周边旅游地中，人工娱乐型旅游地和自然观光型旅游地平均城市中心距离的差

异, 客观地反映出两类旅游地对市场和资源的不同依赖程度。人工娱乐型旅游地的特点是高投入、高门票价格, 其旅游活动体验性强, 时间弹性小, 北京周边人工娱乐旅游地的游览时间一般在 6 小时以内, 游客的旅游活动基本上是一日游。这些特点决定了旅游地必须接近客源市场, 以降低行游时间比, 吸引更多游客。自然观光旅游地则具有完全不同的特点: 首先, 自然资源条件是旅游地存在的基础, 客源市场和区位条件在旅游地生存和发展中的作用退居次要地位; 其次, 自然观光旅游地的投资规模小、游客门槛值低; 第三, 游览时间弹性大, 可以安排从一日游到多日游的不同游览方式, 相对而言, 区位和交通的制约作用减小。也就是说, 自然观光型旅游地偏向资源导向型, 人工娱乐型旅游地偏向市场导向型, 反映在空间尺度上, 就是自然观光旅游地的平均城市中心距离远大于人工娱乐旅游地的平均城市中心距离。

4.2.2 旅游地分布的空间离散程度分析 空间离散指数反映了旅游地分布的空间离散程度。指数越大, 表明旅游地在其平均城市中心距离周围的分布越分散; 指数越小, 表明在其平均城市中心距离周围的分布越集中。

自然观光旅游地的形成与分布主要受到固有自然条件与资源的限制。自然观光旅游地的空间离散指数最小, 只有 0.324。北京市周边自然观光旅游地大部分分布在从城市西南经北部到东北的山区, 距离城市中心 40 km 到 100 km 的带状区域内, 平均城市中心距离 64.67 km, 且波动较小。这是由于北京市的自然旅游资源主要分布在这个范围之内, 因此自然观光旅游地的总体分布比较集中。

人文观光旅游地的空间离散指数最大, 为 0.68。人文观光旅游地主要分布在北京市中心及近郊区, 平均城市中心距离 35.90 km, 且分布较为分散。这是因为人文观光旅游地都是在某个历史时期产生并得以保留下来的, 其分布除了受到一部分自然条件的限制外, 更重要的还是取决于复杂的历史因素。

人工娱乐及运动休闲旅游地在其平均城市中心距离周围的偏离程度介于前两者之间, 比较离散。原因在于这些旅游地的分布除受到自然条件和历史因素的影响外, 还受到市场、社会等一系列复杂因素的共同影响。

4.2.3 旅游地分布随距离衰减程度分析 随着距离的增加, 城市周边旅游地的数量总体上呈衰减趋势。旅游地空间分布曲线反映了不同类型旅游地随距离衰减的不同特征。

4 种类型旅游地的空间分布曲线呈现出三种形态: 近城集聚、远城集聚和近城、远城双集聚形态。人文观光旅游地和人工娱乐旅游地的空间分布呈近城集聚形态, 自然观光旅游地呈远城集聚形态, 运动休闲旅游地呈近城、远城双集聚形态。近城集聚形态说明旅游地的距离衰减作用明显, 空间距离和交通因素在旅游地发展中具有重要的制约作用; 远城集聚和双集聚状态说明旅游地的距离衰减作用相对比较缓和, 空间距离和交通因素对旅游地的制约作用较小。

一般的理解, 在资源因素和区位因素中, 资源因素对人文观光旅游地的影响更大一些, 但是其空间分布曲线却表现为区位因素主导的近城集聚型, 原因可能有如下两个: 一是城市周边地区的文物古迹, 在其历史形成过程中, 已经受到空间作用的制约, 表现出了空间距离衰减的特征; 二是具有相同文化价值和旅游价值的人文旅游地, 其旅游吸引力明显受到距离因素的制约, 清东陵、西陵和明十三陵在旅游开发上的巨大差距即证明了区位因素对人文观光旅游地具有重要的影响。

5 结论

北京周边旅游地在类型上主要分为自然观光旅游地、人文观光旅游地、人工娱乐旅游地、运动休闲旅游地 4 种。不同类型旅游地的空间分布呈现不同的特征:

人文观光旅游地和人工娱乐旅游地在距离城市中心 0~40 km 范围内分布最为密集, 在此距离以外, 旅游地数量随距离增加急剧减少; 自然观光旅游地则大多分布在距离城市中心 40 km 以外的区域, 其中距离城市 40~100 km 范围内自然观光旅游地的数量接近该类旅游地总量的 85%, 从另外一个方面反映了自然观光旅游地空间上集中分布的特征; 运动休闲旅游地在距离市中心 30 km 和 80 km 附近形成两个密集分布区, 进一步分析发现, 两个密集区内旅游地的特征存在明显差异: 距离城市中心 30 km 左右, 是运动型旅游地密集分布区; 80 km 附近的密集, 很大程度上是受十渡旅游区的影响。

各类型旅游地空间分布的总体特征是: 距离城市中心 60 km 范围内, 是旅游地分布最密集的区域, 在此范围内, 旅游地类型丰富且数量较多; 距离城市中心 60 km 以外, 不同类型旅游地空间分布的差异开始显现, 人文观光和人工娱乐旅游地显著减少, 自然观光旅游地数量显著增加, 以自然风景资源为基础的运动休闲旅游地数量也有一定程度增加。运用环城游憩带理论可以很好地解释这种现象: 级差地租对旅游地的外推作用和出行交通阻力对旅游地的内拉作用在 60 km 处达到平衡; 超过 60 km 后, 尽管地租进一步降低, 由于出行成本提高, 旅游地开发也难以得到市场认同。

参考文献:

- [1] 北京晚报. 北京新闻. 2002-05-08.
- [2] Smith S L J. Regional analysis of tourism resources. *Annals of Tourism Research*, 1987, **14**(2): 254~273.
- [3] Weaver D B. Model of urban tourism for small Caribbean islands. New York: *Geographical Review*, 1993.
- [4] Getz D. Tourist shopping Villages: Development and planning strategies. *Tourism Management*, 1993, **14**(1).
- [5] Smith R A, Lesure J D. The U. S. Lodging industry today. *Cornell Hotel and Restaurant Administration Quarterly*, 1999, **40**(1): 18~25.
- [6] Scott D. Exploring time patterns in people's use of a metropolitan park district. *Leisure Sciences*, 1997, **19**(3): 159~174.
- [7] 路嘉. 城郊风景旅游环境与建筑创作. 北京建筑工程学院硕士论文, 1995.
- [8] 苏文才, 丁芳, 周征农. 上海市民周末度假现状与走势调查. *旅游学刊*, 1996, **11**(2): 23~25.
- [9] 吴国清. 市场导向与上海郊区旅游开发初探. *人文地理*, 1996, **11**(3): 65~67.
- [10] 吴必虎, 唐俊雅, 黄安民, 等. 中国城市居民旅游目的地选择行为研究. *地理学报*, 1997, **52**(2): 65~67.
- [11] 邵黎明, 周甦芳. 上海郊区旅游业发展对策研究. *地域研究与开发*, 1998, **17**(1): 69~71.
- [12] 朱容. 对北京边远山区旅游资源开发的若干思考. *首都师范大学学报(自然科学版)*, 1999, (2): 83~92.
- [13] 李九全. 西安环城风景区旅游开发研究. *经济地理*, 1999, **19**(1): 124~127.
- [14] 黄安民, 吴必虎. 长春城市游憩者流动行为研究. *经济地理*, 1997, **17**(旅游专集): 119~127.
- [15] Wu Bihu. Formation and spatial structure of ReBAM: a case study of Shanghai City. A presentation to the International Conference on Urban Tourism. Zhuhai, Guangdong Province, China. Standup Presentation. 1999.
- [16] 吴必虎. 大城市环城游憩带(ReBAM)研究: 以上海市为例. *地理科学*, 2001, **21**(4): 354~359.
- [17] 沙润, 吴江. 城乡交错带旅游景观生态设计初步研究. *地理学与国土研究*, 1997, **13**(3): 53~56, 62.
- [18] 符全胜. 城乡交错带旅游开发研究: 以江苏锡山市沿太湖地区为例. *地理学与国土研究*, 1998, **14**(3): 57~59.
- [19] 肖胜和. 浅论郊野旅游开发. *桂林旅游高等专科学校学报*, 1999, **10**(3): 43~45.
- [20] 王云才. 论都市郊区游憩景观规划与景观生态保护. *地理研究*, 2003, **22**(3): 324~334.
- [21] 保继刚. *旅游地理学*. 北京: 高等教育出版社, 1999. 76~79.

Attraction categories and spatial characteristics in recreational belt around metropolis : Beijing case study

SU Ping , DANG Ning , WU Bi-hu

(The Center for Recreation and Tourism Research , Peking University , Beijing 100871 ,China)

Abstract : As is well known China is experiencing a rapid progress in ReBAM tourism in recent years. The situation has caught more and more attentions from many researchers. The spatial distribution of attractions in the ReBAM has just been qualitatively demonstrated , while there is a big lack of quantitative analysis due to the limitation of data availability. For this paper , the authors take 235 specific attractions as samples , which are picked from 14 districts apart from 4 old districts of Beijing , and explore deeply into attraction categories and spatial characteristics of Beijing on the basis of a large amount of statistical data and the predecessor 's research.

According to the method of compound category , the authors cut attractions into nine categories with the attributes of tourism resource and travel activities. But only four categories among the nine can be found in Beijing , and they are natural sightseeing resorts , human sightseeing resorts , artificial entertainment resorts and sports resorts. Then the authors try to disclose the characteristics of attractions categories and spatial distribution in Beijing with the support of ReBAM theory , space structure and metrological geography and the method of GIS and call-in survey. Several quantitative methods are used such as rotating radius , spatial distribution curve , discrete index of attraction and so on. With the data and the methods , the authors reach the following conclusions :

The point of 60 km away from the city center is the critical point of attractions ' spatial distribution , at that place where the pushing force of classified rents and the pulling force of traffic resistance get into balance. So the area within 60 km from the city center is the optimal place for tourism industry , all the four categories can be found there. While relatively less categories can be found in the area beyond 60 km away from the city center. Most of the attractions are natural landscape category , which include natural sightseeing attractions and sport and recreation attractions rely on natural resource.

Key words : Recreational Belt Around Metropolis (ReBAM) ; attraction categories; spatial characteristics; Beijing